



第2章 调节器



回顾-调节器原理概述

✋ 比例调节 $y_o = K_p e$ 传递函数 $G(s) = \frac{Y(s)}{X(s)} = K_p$

✋ 积分调节 $y_o = K_I \int_0^t e dt$ 传递函数 $G(s) = \frac{Y(s)}{X(s)} = \frac{1}{T_I s}$

✋ 比例积分调节 $y_o = K_p \left(e + \frac{1}{T_I} \int_0^t e dt \right)$

传递函数 $G(s) = \frac{Y(s)}{X(s)} = K_p \left(1 + \frac{1}{T_I s} \right)$

回顾-调节器原理概述

微分调节 $y_o = T_D \frac{de}{dt}$ 传递函数 $G(s) = \frac{Y(s)}{X(s)} = T_D s$

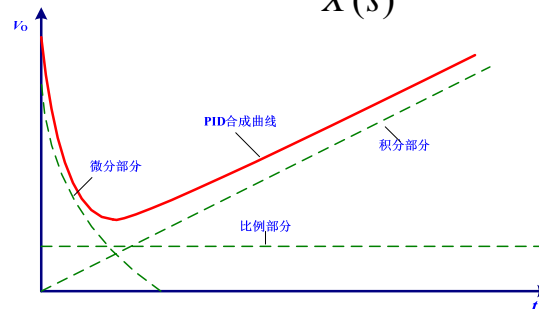
比例微分调节 $y_o = K_p (e + T_D \frac{de}{dt})$

传递函数 $G(s) = \frac{Y(s)}{X(s)} = K_p (1 + T_D s)$

回顾-调节器原理概述

比例积分微分调节 $y_o = K_p (e + \frac{1}{T_I} \int_0^t e dt + T_D \frac{de}{dt})$

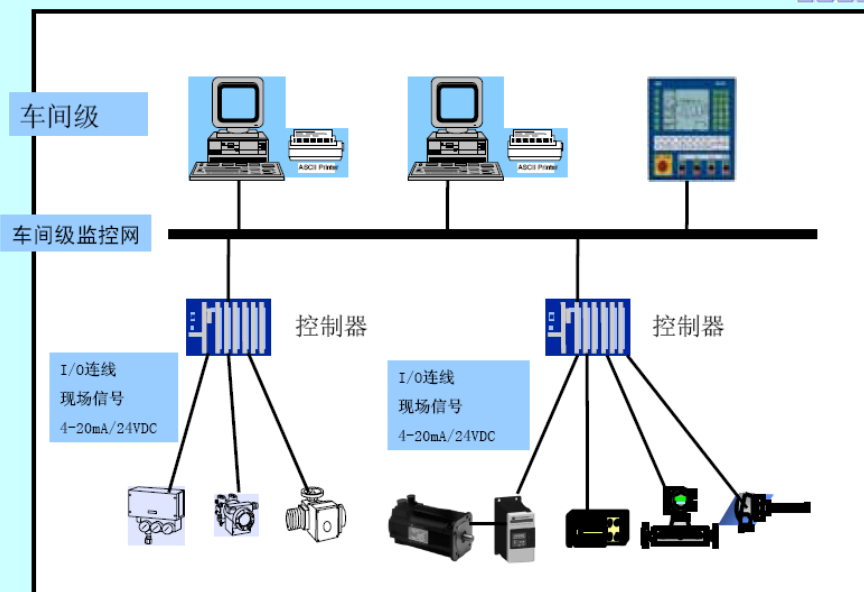
传递函数 $G(s) = \frac{Y(s)}{X(s)} = K_p (1 + \frac{1}{T_I s} + T_D s)$

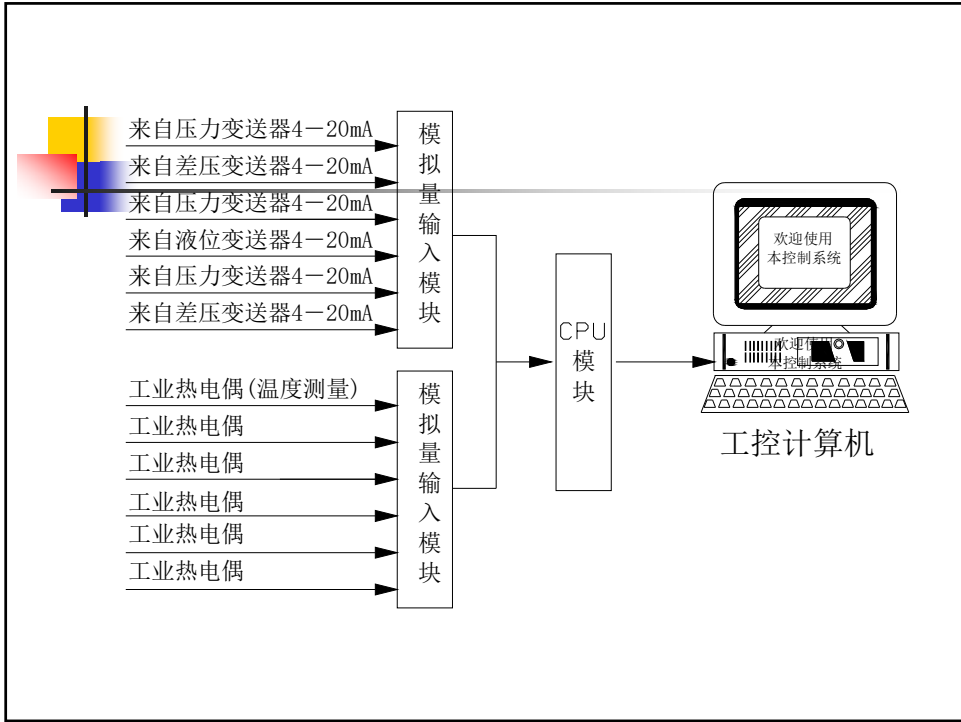


回顾-算法总结

- P—控制系统的响应快速性—现在
(现在就起作用：检测到水位偏差信号后，阀门有一个成比例的开度)
- I—控制系统的准确性，消除过去积累误差—过去（清除先前错误，检测到水位偏差信号后逐渐打开阀门）
- D—控制系统的稳定性，有超前作用—将来（提前预计控制）

传统方式：现场级设备与控制器之间连接采用一对一所谓I/O接线方式，传递4-20mA或24VDC信号。





常规仪表控制室外观



DCS 控制室外观



第二章调节器

主要内容:

- 2.1 控制系统及其性能
- 2.2 调节器的调节规律
- 2.3 PID运算电路
- 2.4 PID 调节器的阶跃响应和频率特性
- 2.5 PID 调节器的完整结构
- 2.6 数字控制算法

2.3 PID运算电路

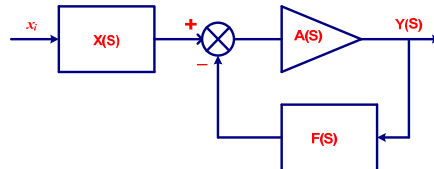
高精度传函的实现

负反馈放大器输出表达式：

$$W(s) = \frac{Y(s)}{X(s)} = \frac{A(s)X(s)}{1 + A(s)F(s)}$$

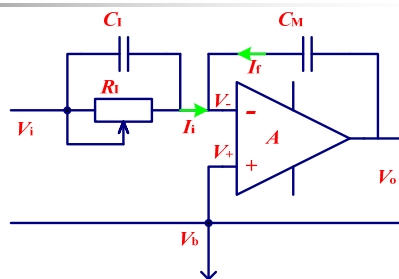
$$\text{当 } A(s)F(s) \gg 1 \quad W(s) = \frac{Y(s)}{X(s)} = \frac{X(s)}{F(s)}$$

结论：简化后传递函数完全由输入回路和反馈回路的内容决定---与运放本身无关



2.3 PID运算电路

比例积分PI运算电路



近似分析

$$\text{基本条件: } V_+ - V_- = \frac{V_o}{A} \approx 0 \quad V_+ \approx V_- \quad I_+ = I_- = 0$$

$$\text{电流平衡方程: } I_i + I_f = 0 \quad I_i = \frac{V_i}{R_i} + C_i \frac{dV_i}{dt} \quad I_f = C_M \frac{dV_o}{dt}$$

2.3 PID运算电路

代入电流平衡方程

$$\frac{V_i}{R_I} + C_I \frac{dV_i}{dt} + C_M \frac{dV_o}{dt} = 0$$

解出输出表达式

$$V_o = -\frac{C_I}{C_M} \left(V_i + \frac{1}{R_I C_I} \int_0^t V_i dt \right)$$

相当于 P、I 两部分作用

比例部分: $-\frac{C_I}{C_M} V_i$ 积分部分: $-\frac{C_I}{C_M} \frac{1}{T_I} \int_0^t V_i dt$

其中积分时间: $T_I = R_I C_I$

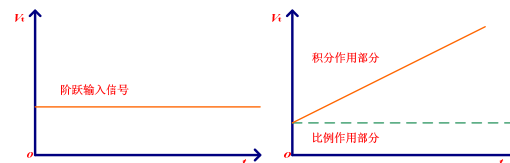
响应分析结论:

T_I 值大, 积分曲线上升缓慢; 值小, 积分曲线上升快。

2.3 PID运算电路

阶跃响应分析

理想输入输出曲线



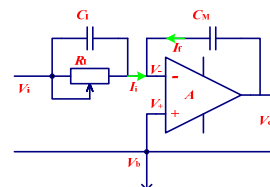
$$V_+ - V_- = \frac{V_o}{A} \neq 0 \quad V_+ \neq V_-$$

精确关系分析 (利用基尔霍夫第一定律及拉氏变换式)

$$\frac{V_i(s) - V_-(s)}{R_I} + \frac{V_i(s) - V_-(s)}{1/C_I s} + \frac{V_o(s) - V_-(s)}{1/C_M s} = 0$$

另有关系式:

$$V_o(s) = -A V_-(s)$$



2.3 PID运算电路

输出表达式推导

得: $V_o(s) = -\frac{V_o(s)}{A} \quad \frac{V_o(s)}{V_i(s)} = -\frac{1 + R_I C_I s}{\frac{1}{A} + (\frac{R_I C_I + R_I C_M}{A} + R_I C_M)s}$

A 很大时, $\frac{R_I C_I + R_I C_M}{A} \ll R_I C_M$

可简化为 $\frac{V_o(s)}{V_i(s)} = -\frac{C_I}{C_M} \frac{1 + 1/R_I C_I s}{1 + 1/AR_I C_M s} \quad (2-10)$

2.3 PID运算电路

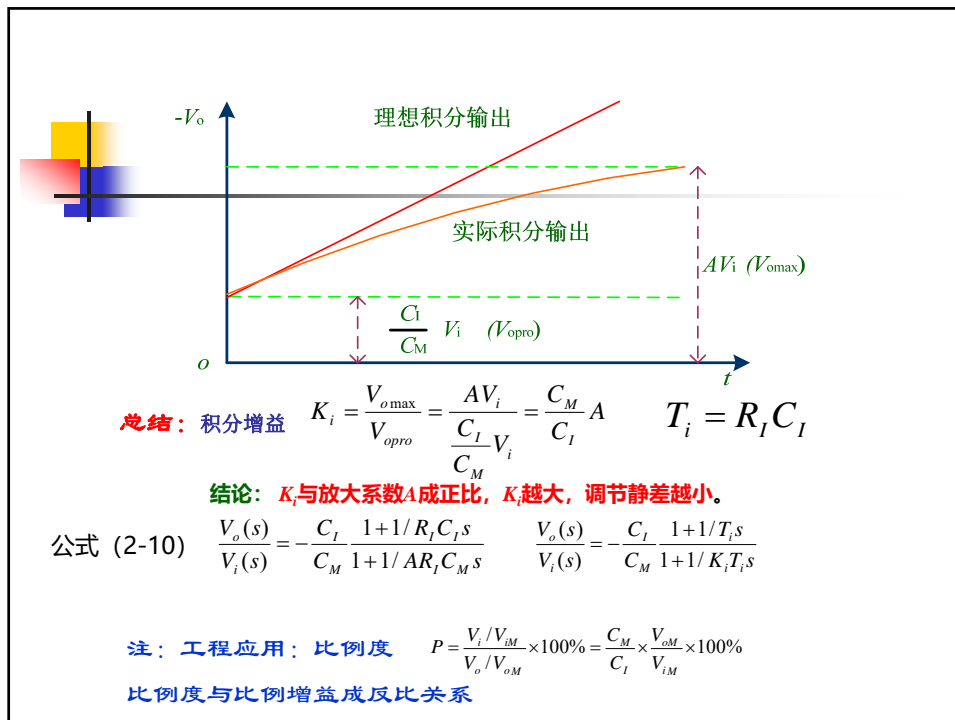
时域表达式 $V_o(t) = L^{-1}[V_o(s)] = -\left[\frac{C_I}{C_M} + (A - \frac{C_I}{C_M})(1 - e^{-\frac{t}{AR_I C_M}})\right]V_i$

$V_o(t \rightarrow \infty) = -AV_i$

$t \ll AR_I C_M$ 时, 泰勒级数后简化指数项分析

$$V_o(t) = -\left[\frac{C_I}{C_M} + (A - \frac{C_I}{C_M})\frac{t}{AR_I C_M}\right]V_i$$

$A \gg \frac{C_I}{C_M}$ 时 $V_o(t) = -(\frac{C_I}{C_M} + \frac{t}{R_I C_M})V_i = -\frac{C_I}{C_M}V_i - \frac{t}{R_I C_I}V_i$



2.3 PID运算电路

积分增益： 使用积分增益 K_i 分析调节作用：

$$K_i = \frac{y(\infty)}{y(0)} = \frac{V_{o\max}}{V_{比例}} = \frac{AV_i}{\frac{C_I}{C_M} V_i} = \frac{C_M}{C_I} A$$

作为衡量积分消除静差的参考

$$K_i = \frac{C_M}{C_I} A \quad T_i = R_I C_I$$

代入传递函数表达式 $\frac{V_o(s)}{V_i(s)} = -\frac{C_I}{C_M} \frac{1+1/R_I C_I s}{1+1/AR_I C_M s}$

$$W(s) = \frac{V_o(s)}{V_i(s)} = -\frac{C_I}{C_M} \frac{1+1/T_I s}{1+1/K_i T_i s} = -K_P \frac{1+1/T_I s}{1+1/K_i T_i s}$$

2.3 PID运算电路

1. 比例带

一般表达式:

$$\delta = \frac{\frac{e}{\frac{x_{\max} - x_{\min}}{y}}}{\frac{y_{\max} - y_{\min}}{y}} \times 100\%$$

单元组合仪表中有

$$\delta = \frac{e}{y} = \frac{1}{K_p} \times 100\%$$

2.3 PID运算电路

积分增益: $K_I = \frac{y(\infty)}{y(0)}$ PI输出变化终值与输出变化初值之比

稳态增益: $K = \frac{y(\infty)}{e} = K_p K_I$ PI比例增益与积分增益的乘积

控制点偏差: PI稳定时测量值与给定值之间存在的偏差。

满量程时控制点偏差最大, 表示为: $e_{\max} = \frac{y_{\max} - y_{\min}}{K_p K_I}$

调节精度: 输入、输出量程相等时的最大控制点偏差

$$\Delta = \frac{e_{\max}}{x_{\max} - x_{\min}} \times 100\% = \frac{\frac{y_{\max} - y_{\min}}{K_p K_I}}{y_{\max} - y_{\min}} \times 100\% = \frac{1}{K_p K_I} \times 100\%$$

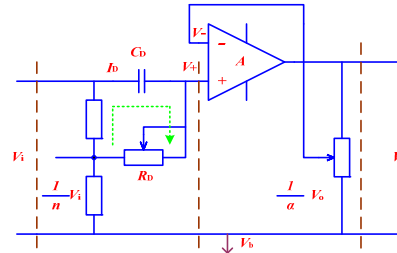
2.3 PID运算电路

比例微分运算电路

PD运算电路

$$V_+(s) = \frac{1}{n} V_i(s) + I_D(s) R_D$$

$$I_D(s) = \frac{\frac{n-1}{n} V_i(s)}{R_D + \frac{1}{C_D s}} = \frac{n-1}{n} \frac{C_D s}{1 + R_D C_D s} V_i(s)$$



2.3 PID运算电路

$$V_+(s) = \frac{1 + n R_D C_D s}{1 + R_D C_D s} \cdot \frac{1}{n} \cdot V_i(s)$$

阶跃输入时的拉氏反变换 $V_+(t) = \frac{1}{n} \left[1 + (n-1) e^{-\frac{t}{R_D C_D}} \right] V_i \quad (2-15)$

$\frac{1}{n} V_i$ 反映了比例项, $\frac{n-1}{n} e^{-\frac{t}{R_D C_D}} V_i$ 反映了微分项



2.3 PID运算电路

加入运放电路后的输出表达式推导

$$V_o(s) = \alpha V_+(s)$$

$$V_o(s) = \alpha V_+(s) = \frac{\alpha}{n} \frac{1 + nR_D C_D s}{1 + R_D C_D s} V_i(s)$$



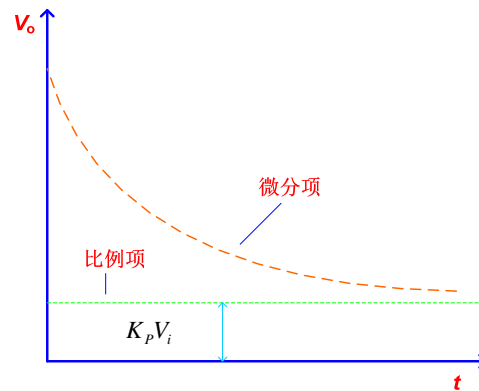
2.3 PID运算电路

令 $K_D = n$, $T_D = nR_D C_D$ $V_o(s) = \frac{\alpha}{n} \frac{1 + T_D s}{1 + \frac{T_D}{K_D} s} V_i(s)$

$$K_P = \frac{\alpha}{n} \quad V_o(s) = K_P \frac{1 + T_D s}{1 + \frac{T_D}{K_D} s} V_i(s)$$

$$W(S) = K_P \frac{1 + T_D s}{1 + \frac{T_D}{K_D} s} \quad V_o(t) = K_P \left[1 + (K_D - 1) e^{-\frac{K_D t}{T_D}} \right] V_i$$

2.3 PID运算电路



2.3 PID运算电路

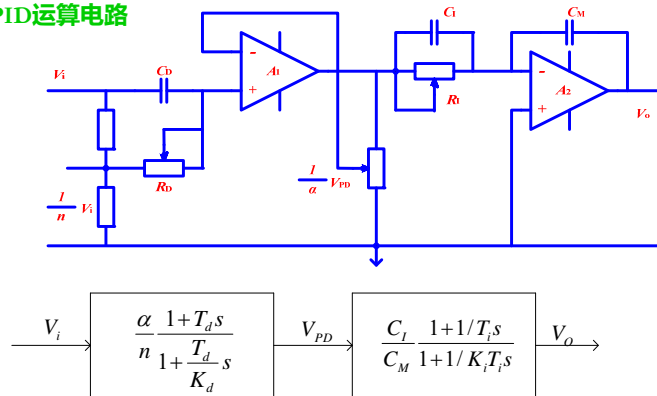
微分增益

PD输出初值与终值之比 $K_D = \frac{y(0)}{y(\infty)}$

微分增益的意义：对于输入偏差变化的反应能力。

2.3 PID运算电路

PID运算电路



2.3 PID运算电路

两环节串联相当于两环节相乘

$$\frac{V_o(s)}{V_i(s)} = \frac{-\alpha}{n} \frac{1+T_d s}{1+\frac{T_d}{K_d} s} \cdot \frac{C_I}{C_M} \frac{1+1/T_I s}{1+1/K_I T_I s} = \frac{-\alpha}{n} \frac{C_I}{C_M} \frac{1+\frac{T_d}{T_I} + \frac{1}{T_I s} + T_d s}{1+\frac{T_d}{K_d K_I T_I} + \frac{1}{K_I T_I s} + \frac{T_d}{K_d} s}$$

$$W(s) = \frac{-\alpha}{n} \frac{C_I}{C_M} \frac{1+\frac{T_d}{T_I} + \frac{1}{T_I s} + T_d s}{1+\frac{T_d}{K_d K_I T_I} + \frac{1}{K_I T_I s} + \frac{T_d}{K_d} s}$$



2.3 PID运算电路

$$\frac{T_D}{K_D K_I T_I} \ll 1 \quad F = 1 + \frac{T_D}{T_I} \quad P = \frac{n}{\alpha} \frac{C_M}{C_I}$$

$$W(S) = -\frac{F}{P} \frac{1 + \frac{1}{FT_I s} + \frac{T_D}{F} s}{1 + \frac{1}{K_I T_I s} + \frac{T_D}{K_D} s}$$

引入 F 干扰系数得表达式

$$W(s) = \frac{V_o(s)}{V_i(s)} = -\frac{F}{P} \left(1 + \frac{1}{FT_I s} + \frac{T_D}{F} s \right)$$

忽略限制项得表达式



2.3 PID运算电路

实际PID调节规律

$$W(S) = -\frac{F}{P} \left(1 + \frac{1}{FT_I s} + \frac{T_D}{F} s \right)$$

$$\text{令 } P^* = \frac{P}{F}$$

$$T_D' = \frac{T_D}{F}, T_I' = FT_I$$

$$W(S) = -\frac{1}{P^*} \left(1 + \frac{1}{T_I' s} + T_D' s \right)$$

其中 P 称为调节器的比例度

2.4 PID 调节器的频率特性

$$W(S) = -\frac{F}{P} \frac{1 + \frac{1}{FT_I s} + \frac{T_D}{F} s}{1 + \frac{1}{K_I T_I s} + \frac{T_D}{K_D} s}$$

↓ $F=1$

$$W(S) = -\frac{1}{P} \frac{1 + \frac{1}{T_I s} + T_D s}{1 + \frac{1}{K_I T_I s} + \frac{T_D}{K_D} s}$$

↓ $s=j\omega$, 两边取对数乘以20, 求其对数幅频特性

2.4 PID 调节器的频率特性

幅频特性

$$L(\omega) = 20 \lg |W(j\omega)| = 20 \lg \frac{1}{P} + 20 \lg \sqrt{1 + (T_D \omega - \frac{1}{T_I \omega})^2} - 20 \lg \sqrt{1 + (\frac{T_D \omega}{K_D} - \frac{1}{K_I T_I \omega})^2}$$

低频段, 条件: $T_D \omega \ll 1$

$$L(\omega) \approx 20 \lg \frac{1}{P} + 20 \lg \sqrt{1 + (\frac{1}{T_I \omega})^2} - 20 \lg \sqrt{1 + (\frac{1}{K_I T_I \omega})^2}$$

(1) 当频率很低 $\omega \leq \frac{1}{K_I T_i}$ $L(\omega) \approx 20 \lg \frac{1}{P} + 20 \lg \frac{1}{T_i \omega} - 20 \lg (\frac{1}{K_I T_i \omega})$

有: $L(\omega) = 20 \lg \frac{1}{P} + 20 \lg K_I$

$L(\omega)$ 为常数---对数幅频特性为水平直线

2.4 PID 调节器的频率特性

(2) 当频率变化至 $\frac{1}{T_i} \gg \omega \gg \frac{1}{K_i T_i}$ $L(\omega) \approx 20\lg \frac{1}{P} + 20\lg \frac{1}{T_i \omega}$

有: $L(\omega) = 20\lg \frac{1}{P} - 20\lg T_i \omega$

$L(\omega)$ 为斜线---以十倍频程20分贝下降

(3) 当 $\omega > \frac{1}{T_i}$ 仍可忽略微分项作用, 有: $L(\omega) \approx 20\lg \frac{1}{P}$

为一条幅值较低水平直线

2.4 PID 调节器的频率特性

当 $\frac{1}{\omega T_i} \ll 1$ 为高频可忽略积分项作用

$$L(\omega) \approx 20\lg \frac{1}{P} + 20\lg \sqrt{1 + (T_D \omega)^2} - 20\lg \sqrt{1 + \left(\frac{T_D}{K_D} \omega\right)^2}$$

(4) $\frac{K_D}{T_D} \gg \omega \gg \frac{1}{T_D}$ $L(\omega) \approx 20\lg \frac{1}{P} + 20\lg(T_D \omega)$

以十倍频程20分贝上升直线

(5) 当频率很高 $\omega \gg \frac{K_D}{T_D}$ $K_D = n$ $n = 5 \sim 10$

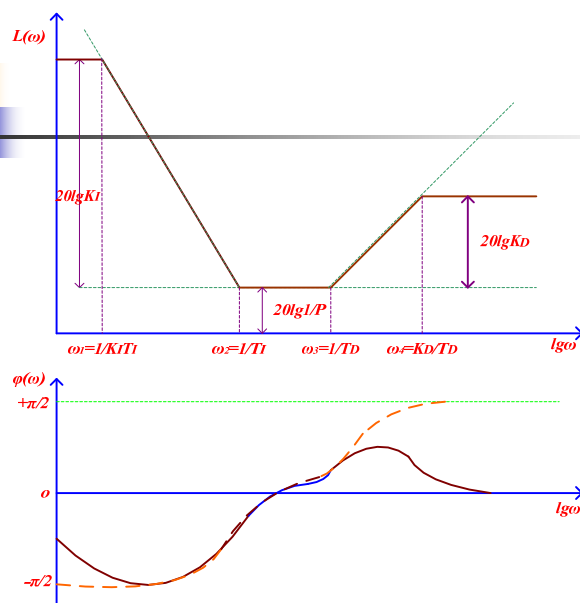
有: $L(\omega) \approx 20\lg \frac{1}{P} + 20\lg(T_D \omega) - 20\lg\left(\frac{T_D}{K_D} \omega\right) = 20\lg \frac{1}{P} + 20\lg K_D$

为幅值较高水平直线

2.4 PID 调节器的频率特性

$$(6) \quad \omega \ll \frac{1}{T_D} \quad L(\omega) \approx 20 \lg \frac{1}{P}$$

与频率无关的水平线。它在 $\omega = \frac{1}{T_D}$ 和 $\omega = \frac{1}{T_I}$ 处
分别与幅频特性的上升段和下降段相接。





小结

1 PI运算电路、PD运算电路、PID运算电路

2 PID 调节器的阶跃响应和频率特性



作业

P 101: 2-1,2-3



谢谢!